

01; 05

## Установление квазиоднородной последовательности вихрей в периодически модулированном джозефсоновском контакте конечной длины

© М.А. Зеликман

Санкт-Петербургский государственный политехнический университет,  
195251 Санкт-Петербург, Россия  
e-mail: marzelik@mail.ru

(Поступило в Редакцию 26 февраля 2009 г.)

Рассчитаны конфигурации токов и профиль магнитного поля, проникающего внутрь контакта конечной длины при  $I < I_c$ . Метод расчета основан на анализе непрерывного видоизменения токовой структуры, ведущего к уменьшению ее потенциала Гиббса. Этот подход позволяет найти конфигурацию, устанавливающуюся при малом превышении внешним полем значения  $H_{\max}$ , и проследить ее развитие при дальнейшем увеличении поля.

Показано, что при  $H > H_{\max}$  приграничные структуры переходят в квазиоднородные последовательности вихрей, расстояния между которыми колеблются около среднего значения, убывающего с ростом  $H$ . При некоторых значениях  $H$  в контакт в виде приграничных последовательностей начинают проникать вихри с большим на единицу числом квантов  $\Phi_0$ . С ростом поля они преобразуются в квазиоднородные последовательности и т.д. Ни при каком поле в контакте не могут находиться вихри с количеством квантов  $\Phi_0$ , различающимся больше чем на единицу.

Процесс проникновения вихрей с  $(k + 1)\Phi_0$  в контакт, каждая ячейка которого содержит  $k\Phi_0$ , полностью аналогичен проникновению вихрей с одним  $\Phi_0$  в мейсснеровскую конфигурацию. Этот факт подтверждается тем, что зависимость средней индукции  $b$  в контакте от внешнего поля  $h$  имеет почти строгую периодичность с периодом 1 по обеим осям, а также видом зависимостей магнитного поля в ячейках от их расстояния до границы.

PACS: 03.75.Lm, 47.32.-y

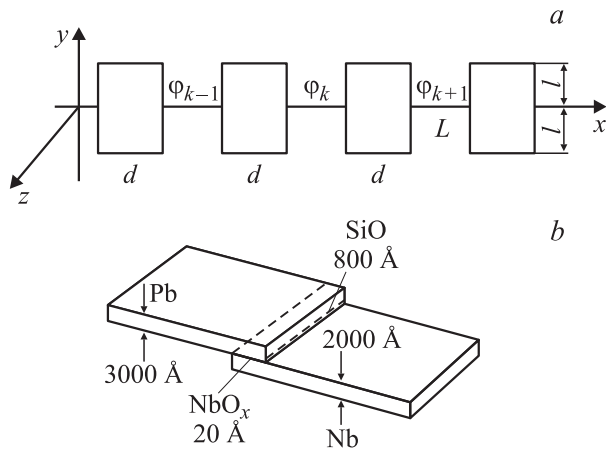
### Введение

В последние годы внимание теоретиков и экспериментаторов привлекает проблема проникновения магнитного поля в длинный периодически модулированный джозефсоновский контакт. С одной стороны, это связано с интересом к искусственным структурам такого типа [1], на которых могут быть проверены теоретические предсказания. С другой стороны, эта задача представляет собой модель, которой свойственны все процессы, имеющие место в сверхпроводящих образцах: выталкивание магнитного поля, возникновение вихрей, их пиннинг и все связанные с этим феномены — в частности, проникновение в контакт внешнего магнитного поля. Математически эта задача существенно проще аналогичной задачи для трехмерного сверхпроводника. Она может быть решена вполне точно, что позволяет рассчитать структуру вихрей, найти значения энергии и силы пиннинга, а также понять различные детали происходящих процессов.

Искусственный периодически модулированный джозефсоновский контакт (рис. 1, *a*) представляет собой тонкий слой диэлектрика (плоскость  $xz$ ) между двумя сверхпроводниками, пересеченный параллельными друг другу бесконечными вдоль оси  $z$  полосами диэлектрика толщиной  $2l$  вдоль оси  $y$  и шириной  $d$  вдоль оси  $x$ , периодически расположенными вдоль оси  $x$  на расстоянии  $L$  друг от друга. Внешнее магнитное поле, а

также оси вихрей направлены вдоль оси  $z$ . На рис. 1, *b* представлена структура искусственно создаваемого периодически модулированного джозефсоновского контакта [1]. На участках между полосами величина скачка фазы между сторонами контакта медленно изменяется с координатой, в то время как при переходе через полосу она меняется скачком. Обозначим усредненное по  $k$ -му участку между полосами значение скачка через  $\varphi_k$  (рис. 1, *a*). Пусть скачок фазы на ближайшем к границе контакта участке равен  $\varphi_1$ , и по мере продвижения внутрь —  $\varphi_2$ ,  $\varphi_3$  и т.д. Распределение величин  $\varphi_k$  описывает установившееся токовое состояние.

Далее будем интересоваться распределением фаз, токов и магнитного поля при адиабатическом включении внешнего магнитного поля  $H_e$ . При достаточно малых значениях  $H_e$  у границы контакта возникает мейсснеровская конфигурация, когда величины  $\varphi_k$  убывают с ростом номера и равны нулю в глубине контакта. При этом магнитное поле, созданное приграничными токами, полностью компенсирует внешнее поле в глубине контакта. В работе [2] показано, что такая ситуация имеет место до тех пор, пока внешнее поле не достигнет некоторого максимально возможного значения  $H_S$ , причем вплоть до этого значения поля мейсснеровское состояние является устойчивым. В сверхпроводниках первого рода предел мейсснеровского состояния определяется равенством значений энергии нормального и сверхпроводящего состояний с учетом энергии экранирующих токов.



**Рис. 1.** *a* — модель периодически модулированного джозефсоновского контакта; *b* — структура искусственно созданного периодически модулированного джозефсоновского контакта.

Если внешнее поле больше  $H_S$ , то образец переходит в нормальное состояние. В рассматриваемом случае джозефсоновского контакта эти соображения неприменимы.

Что же будет происходить, когда внешнее поле превысит величину  $H_S$  и мейснеровское состояние невозможно? Как известно [3], при отсутствии пиннинга в контакте установилась бы периодическая последовательность вихрей. Как влияет на ситуацию существование пиннинга? В работах [4–6] показано, что характер вихревой картины зависит от величины так называемого параметра пиннинга  $I$ , определение которого будет дано далее. При малых значениях  $I$  ситуация такая же, как при нулевом пиннинге, т.е. при превышении внешним полем некоторого значения  $H_{\max} > H_S$  вихри заполняют сразу весь контакт от его границы до бесконечности. При больших значениях  $I$  вихри с ростом поля постепенно продвигаются от границы внутрь контакта, а магнитное поле в глубине контакта остается равным нулю. В работе [4] на базе подхода, развитого в нелинейной физике [5], показано, что существует критическое значение параметра пиннинга  $I_C = 0.9716$ , разделяющее эти два режима. При  $I > I_C$  при любом внешнем поле может существовать приграничная токовая конфигурация конечной длины, обеспечивающая полную компенсацию поля внутри контакта вдали от границы.

В работе [6] профиль магнитного поля внутри контакта в случае  $I > I_C$  рассчитан на базе подхода, основанного на анализе непрерывного видоизменения конфигурации, протекающего в направлении уменьшения потенциала Гиббса. При увеличении внешнего магнитного поля происходит непрерывная трансформация устанавливающегося распределения токов. При этом в каких-то участках конфигурации токи убывают, в каких-то возрастают, т.е. вихри не ведут себя как заталкиваемые полем внутрь жесткие частицы, а как бы „втекают“ внутрь контакта. Предложенный алгоритм позволяет найти ту конфигурацию, в которую переходит мейснеровское состояние при малом превышении внешним

полем значения  $H_S$ , и проследить ее развитие при дальнейшем увеличении поля. Компьютерный численный расчет [6] показал, что существует критическое значение параметра пиннинга  $I_C$  в интервале 0.95–1, разделяющее два возможных режима проникновения в контакт магнитного поля. Для  $I > I_C$  при любом значении внешнего поля возникает приграничная токовая структура конечной длины, полностью компенсирующая внешнее поле в глубине контакта. В [6] проведено подробное исследование этого случая. Если  $I < I_C$ , то такая приграничная структура может существовать лишь до значения внешнего поля  $H_{\max}(I)$ . При больших значениях поля длина приграничной конфигурации, рассчитанная по методу, использованному в [6], по ходу расчета все время увеличивается, что означает, что расчет может продолжаться бесконечно долго, а поле проникает в контакт на бесконечную глубину. Однако детали этого процесса остаются неясными. Всегда ли в контакте устанавливается квазипериодическая цепочка вихрей, в которой расстояние между соседями слегка отклоняется от среднего в ту или иную сторону? Могут ли сосуществовать вихри, содержащие различное число квантов потока  $\Phi_0$ ? Реализуется ли при каком-то значении поля ситуация, когда каждая ячейка содержит целое число квантов  $\Phi_0$ , а суммарный магнитный момент контакта обращается в нуль? Существует ли периодичность по внешнему магнитному полю, связанная с квантованием магнитного потока или флюксоида?

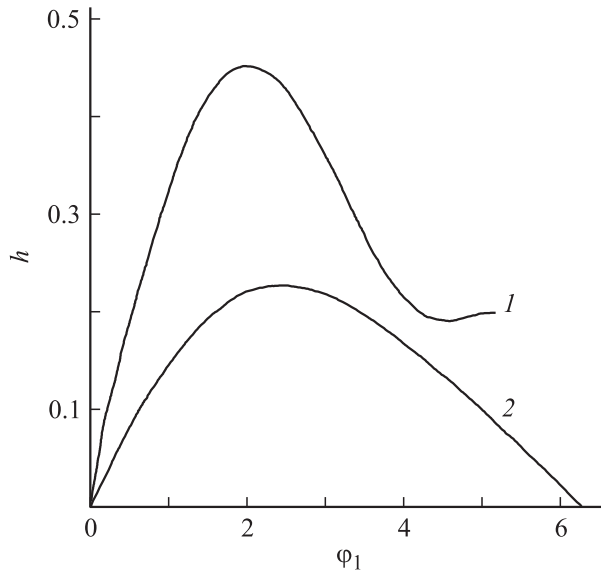
Настоящая работа посвящена поиску ответов на поставленные вопросы и детальному анализу процесса проникновения внешнего поля в контакт для случая  $I < I_C$ . Пусть внешнее магнитное поле  $H_e$  адиабатически увеличивается. До значения магнитного поля  $H_S$  реализуется мейснеровское решение. Как показано в [6], при  $H_S < H_e < H_{\max}$  возникает приграничная последовательность вихрей, полностью компенсирующая внешнее поле в глубине контакта. Развитие ситуации при дальнейшем увеличении поля будем исследовать на базе модификации предложенного в [6] метода для контакта конечной длины. В бесконечном контакте длина приграничной конфигурации по ходу расчета все время увеличивается, что не позволяет прийти к решению за конечное время. Ограничение длины контакта позволяет найти решение задачи, поскольку две симметричные последовательности вихрей, идущие с разных концов контакта, встретившись в его центре, остановятся. Пусть длина контакта велика по сравнению с размерами приграничной области. Тогда при расчете мейснеровской токовой конфигурации можно считать контакт бесконечным.

## Мейснеровская конфигурация

В каждой ячейке должно быть выполнено условие квантования флюксоида

$$2\pi\Phi_m/\Phi_0 + \varphi_m - \varphi_{m+1} = 0, \quad (1)$$

где  $\varphi_m$  — скачок фазы на соответствующем джозефсоновском контакте;  $\Phi_0$  — квант магнитного потока;  $\Phi_m$  —



**Рис. 2.** Зависимость нормированной напряженности внешнего магнитного поля от скачка фазы на участке, ближайшем к границе контакта, для  $I = 1.6$  (1),  $0.5$  (2).

полный магнитный поток через  $m$ -ю ячейку ( $m \geq 1$ ), в рассматриваемой геометрии равный

$$\begin{aligned}\Phi_m &= \mu_0 H S = \mu_0 S \left( \sum_{k=1}^m j_k L - H_e \right) \\ &= \mu_0 L S j_c \sum_{k=1}^m \sin \varphi_k - \Phi_e,\end{aligned}\quad (2)$$

где  $j_c$  — критическая плотность тока,  $H_e$  и  $\Phi_e$  — соответственно напряженность внешнего магнитного поля и его магнитный поток через ячейку площадью  $S = 2ld$ . Подставив (2) в (1) для различных  $m$  и вычтя из уравнения для  $(m-1)$ -го контакта уравнение для  $m$ -го, получим следующую систему разностных уравнений:

$$\varphi_{m+1} - 2\varphi_m + \varphi_{m-1} = I \sin \varphi_m \quad (m \geq 2), \quad (3)$$

где  $I = 2\pi\mu_0 L S j_c / \Phi_0$  — так называемый параметр пиннинга.

В качестве граничных условий к (3) используем стремление к нулю  $\varphi_m$  при стремлении  $m$  к бесконечности, а также условие (1) для  $m = 1$

$$\varphi_1 - \varphi_2 = -I \sin \varphi_1 + 2\pi h, \quad (4)$$

где  $h = H_e / H_0$  — нормированная напряженность внешнего поля,  $H_0 = \Phi_0 / \mu_0 S$  — значение внешнего поля, при котором через каждую ячейку площадью  $S$  проходит один квант магнитного потока  $\Phi_0$ .

Найдем точное решение системы (3). Представим ее в виде рекуррентного закона

$$\varphi_{m+1} = 2\varphi_m - \varphi_{m-1} + I \sin \varphi_m \quad (m \geq 2). \quad (5)$$

Задаваясь значениями  $\varphi_1$ , будем численно искать соответствующие им возможные значения  $\varphi_2$ , при которых существует решение в виде монотонно убывающей с ростом  $m$  комбинации значений  $\varphi_m$ . Далее из уравнения (4) найдем соответствующее полученному решению значение нормированной напряженности внешнего магнитного поля  $h$ .

На рис. 2 приведены полученные в [6] графики зависимости  $h(\varphi_1)$  для некоторых значений  $I$ . Начальный участок кривой до максимума соответствует мейсснеровскому режиму. Максимально возможное значение  $h_S$  соответствует величине магнитного поля  $H_S$ , выше которой мейсснеровское решение отсутствует. Развитие ситуации при дальнейшем увеличении поля будем исследовать на базе анализа потенциала Гиббса системы.

## Методика вычислений

Рассмотрим контакт конечной длины, содержащий четное число ячеек  $2N$ . Из соображений симметрии следует, что скачок фазы в центральном джозефсоновском контакте  $\varphi_{N+1}$  равен нулю. Запишем потенциал Гиббса такой конфигурации высотой в  $1 \text{ м}$  [2]

$$\begin{aligned}G &= E - \int B H dV = \frac{\Phi_0^2}{2\pi^2 \mu_0 S} \\ &\times \left[ \sum_{i=1}^N \left( \frac{1}{2} (\varphi_{i+1} - \varphi_i)^2 + I(1 - \cos \varphi_i) \right) - 2\pi \varphi_1 h \right].\end{aligned}\quad (6)$$

При выводе (6) было учтено, что в рассматриваемой геометрии термодинамическая напряженность магнитного поля  $H$  во всех точках одинакова и равна напряженности внешнего поля  $H_e$ , а также были использованы соотношения (1) при  $\varphi_{N+1} = 0$ . Тогда

$$\int B H dV = H_e \sum_i \Phi_i = \frac{H_e \Phi_0}{2\pi} \sum_{i=1}^N (\varphi_i - \varphi_{i+1}) = \frac{H_e \Phi_0}{2\pi} \varphi_1.$$

Будем трактовать величину  $G$  как высоту (или потенциальную энергию) горного рельефа, заданного на многомерном множестве координат. Установившиеся при каком-либо значении внешнего поля  $h$  конфигурации соответствуют минимумам энергии (впадинам) в этом рельефе. Если  $h$  скачком увеличится на какую-то малую величину, это приведет к некоторому видоизменению рельефа, в результате чего конфигурация (набор координат), соответствовавшая минимуму прежнего рельефа, теперь окажется на склоне нового. Дальнейшее изменение формы этой конфигурации можно рассматривать как „скатывание“ по новому рельефу с уменьшением „потенциальной энергии“. Пусть этот процесс происходит как результат большого количества маленьких шагов. Логично предположить, что в каждой „точке“ скатывание происходит вдоль линии наибоыстрейшего спуска, т. е. вдоль градиента функции  $G$ . Это значит, что

при каждом шаге все „координаты“  $\varphi_i$  получают приращения, пропорциональные соответствующей проекции градиента:

$$\Delta\varphi_i = -\frac{\partial G}{\partial\varphi_i} \delta,$$

где  $\delta > 0$  — малый постоянный множитель, задающий величину шага. Далее вычисляем все  $\frac{\partial G}{\partial\varphi_i}$  в новой точке, т.е. при новых значениях  $\varphi_i$ , и производим следующий шаг. Эта процедура повторяется до тех пор, пока не придем к новой устойчивой конфигурации, находящейся во впадине рельефа, соответствующего заданному  $h$ .

Отметим, что в рассматриваемой геометрии исчезает граничное условие равенства нулю магнитного поля в глубине контакта, которое было важным для бесконечного контакта [6]. Оно заменяется более простым условием  $\varphi_{N+1} = 0$ . Тогда выражения для „проекции градиента“  $G$  имеют вид

$$\partial G/\partial\varphi_i = 2\varphi_i - \varphi_{i-1} - \varphi_{i+1} + I \sin \varphi_i \quad (2 \leq i \leq N), \quad (7a)$$

$$\partial G/\partial\varphi_1 = \varphi_1 - \varphi_2 + I \sin \varphi_1 - 2\pi h. \quad (7b)$$

В качестве начальной точки для этого алгоритма возьмем точку на границе мейсснеровского режима  $H_S$ , т.е. решение системы (5) для такого  $\varphi_1$ , при котором  $h$  равно своему максимальному значению  $h_S$ . Дадим  $h$  какое-то небольшое приращение  $\Delta h$  и предоставим возможность „точке“ двигаться по „линии наибыстрейшего спуска“, как это объяснялось выше. В смысле программирования это означает задать цикл, в каждом шаге которого новые значения  $\varphi_m$  при  $1 \leq m \leq N$  вычисляются по формуле  $\varphi_m = \varphi_m - \frac{\partial G}{\partial\varphi_m} \delta$  с учетом (7), а  $\varphi_{N+1} = 0$ . В конце концов придем к конфигурации, в которой все производные  $\partial G/\partial\varphi_i$  обратятся в нуль, т.е. будут выполнены условия (3). Это и есть искомая устойчивая равновесная конфигурация, соответствующая  $h = h_S + \Delta h$ . Далее, начиная от этой конфигурации, можно дать новое приращение  $\Delta h$  и т.д. Таким образом можно исследовать распределение скачков фазы  $\varphi_i$ , а значит токов и магнитных полей внутри контакта, во всем диапазоне изменения внешнего поля.

## Результаты расчетов, их интерпретация и анализ

Критическое значение параметра пиннинга  $I_C$  определялось в работах [4–6] и оказалось равным 0.9716. На рис. 3 приведены полученные в [6] зависимости  $h_S(I)$  и  $h_{\max}(I)$  в области  $I < I_C$ , а также кривая  $\sqrt{I}/\pi$ , соответствующая границе мейсснеровского режима при малом пиннинге (квазинепрерывная конфигурация [2]).

Для исследования было выбрано значение  $I = 0.9 < I_C$ , при котором  $h_S = 0.318$ , а  $h_{\max} = 0.343$ . Пусть длина контакта равняется  $2N = 200$  ячейек. Компьютерные расчеты полностью подтвердили возможность использования предложенного алгоритма для расчета проникновения поля в контакт. Действительно,

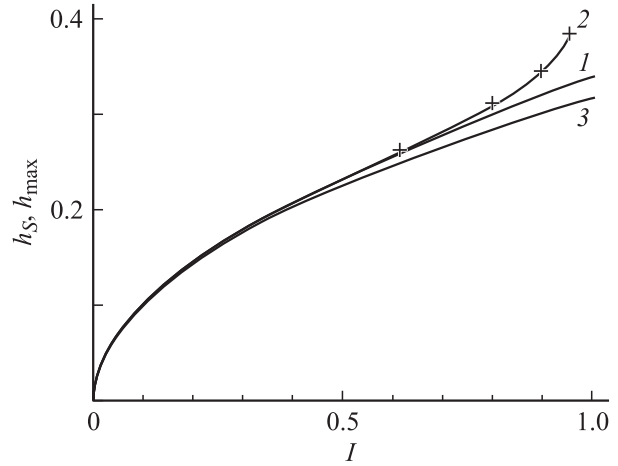


Рис. 3. Зависимости  $h_S(I)$  (1) и  $h_{\max}(I)$  (2) в области  $I < I_C$ , а также график  $\sqrt{I}/\pi$  (3), соответствующий границе мейсснеровского режима при малом пиннинге.

постепенным увеличением значения  $h$  от  $h_S = 0.318$  удастся проследить последовательное изменение конфигурации токов, причем при каждом  $h$  найденные конфигурации удовлетворяют условиям (3). Пока  $h < h_{\max}$ , расчет при любом значении внешнего поля  $h$  (которое является постоянным параметром на каждом этапе расчета) приводит к приграничной конфигурации конечной длины. Глубина проникновения увеличивается с ростом параметра  $h$ . При  $h > h_{\max}$  токовая конфигурация теряет характер приграничной структуры и принимает вид бесконечной вихревой последовательности.

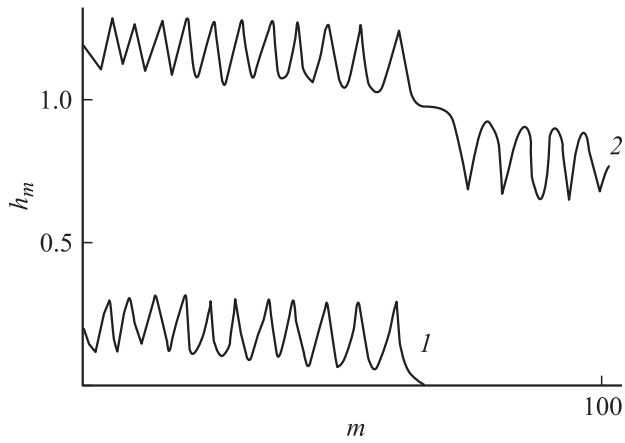
Полученную конфигурацию  $\varphi_m$  можно интерпретировать как последовательность вихрей, проникших в контакт. Согласно (1), магнитное поле внутри  $m$ -й ячейки может быть вычислено по формуле

$$h_m = (\varphi_{m+1} - \varphi_m)/2\pi. \quad (8)$$

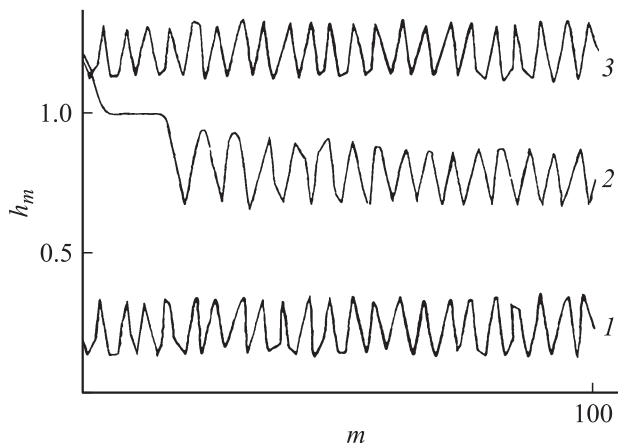
Из аналогии с вихрями в длинном джозефсоновском контакте [3] следует, что центры вихрей находятся в ячейках с максимальными значениями  $h_m$ . При этом анализ распределения скачков фазы  $\varphi_m$  показывает, что это те ячейки, в которых  $\varphi_m$  впервые превосходят значения  $2\pi k + \pi$  ( $k$  — целое число). Отсюда следует, что для трактовки картины как последовательности вихрей нужно каждый раз, как только  $\varphi_m$  превосходит  $\pi$ , вычитать из него целое число раз по  $2\pi$  так, чтобы все  $|\varphi_m| < \pi$ . При этом количество вычитенных  $2\pi$  равно числу квантов магнитного потока в соответствующем вихре.

В таблице приведены результаты таких расчетов для различных значений внешнего поля  $h$ . Цифры означают количество ячеек до следующего вихря с одним квантом магнитного потока  $\Phi_0$ . Отсчет начинается от середины контакта, т.е. от ячейки № 100, и идет в сторону границы. Крестики обозначают вихри, содержащие  $2\Phi_0$ . Видно, что при  $h = 0.344$  расстояние между двумя центральными вихрями намного больше, чем между другими





**Рис. 5.** Зависимость магнитного поля внутри контакта от расстояния до границы для некоторых значений внешнего магнитного поля:  $h = 0.342$  (1),  $1.342$  (2).



**Рис. 6.** Зависимость магнитного поля внутри контакта от расстояния до границы для некоторых значений внешнего магнитного поля:  $h = 0.35$  (1),  $1.3184$  (2),  $1.35$  (3).

Намагниченность  $M$ , т.е. магнитный момент единицы объема, найдем из соотношения  $M = b - h = \varphi_1/2\pi N - h$ . Отметим, что если поле в контакте нельзя считать квазиоднородным, то намагниченность не является корректной характеристикой, но отношение полного магнитного момента контакта к его объему в рассматриваемой геометрии описывается тем же выражением. На рис. 4 приведен график зависимости величины  $-M = (h - \varphi_1/2\pi N)$  от магнитного поля (кривая 2). Из него видно, что магнитный момент контакта никогда не обращается в нуль, хотя, как это указывалось выше, математически такая возможность при целых значениях  $h$  существует.

На рис. 5 и 6 приведены графики зависимостей полей  $h_m$ , рассчитанные по формуле (8), от расстояния ячейки от границы. Вихревая интерпретация позволяет объяснить поведение этих кривых. При  $h < 0.318$  имеем эффект Мейсснера, т.е. токи и магнитное по-

ле существуют только в приграничной области. При  $0.318 < h < 0.344$  образуются приграничные структуры в виде последовательности вихрей вблизи границы. Примером этого является график при  $h = 0.342$  — кривая 1 на рис. 5. Видно, что в глубь контакта вихри не проходят. При  $h > 0.344$  устанавливается квазиоднородная последовательность вихрей во всем контакте, примером чего является кривая 1 на рис. 6 для  $h = 0.35$ , осцилляции которой соответствуют чередованию ячеек с квантом  $\Phi_0$  и без него. При  $h = 1.3184$  (кривая 2 на рис. 6) имеем аналог мейсснеровского режима, когда значительное число последовательных ячеек у границы содержит по одному кванту  $\Phi_0$ , но в глубине контакта такие вихри расположены через одну ячейку. При  $h > 1.3184$  в контакт начинают проникать вихри с двумя квантами  $\Phi_0$ . Чем больше поле, тем больше таких вихрей войдет в контакт. Примером этой ситуации является график для  $h = 1.342$  — кривая 2 на рис. 5. При  $h = 1.35$  (кривая 3, рис. 6) ситуация соответствует квазипериодической последовательности вихрей с чередованием одного и двух квантов  $\Phi_0$  в ячейке. Периодичность зависимости ситуации от  $h$  подтверждается подобием кривых 1 и 2 на рис. 5 и 6, значения  $h$  для которых различаются на единицу.

Таким образом, при изменении внешнего поля имеем дело с двумя возможными ситуациями:

- квазиоднородное проникновение поля в контакт;
- частичное проникновение вихрей с увеличенным на единицу числом квантов  $\Phi_0$  в приграничную область.

В первой ситуации поле во всех точках контакта в среднем одинаково, а во второй контакт разделяется на две части, в которых поле имеет различные значения, как видно из кривых рис. 5. Величина  $h$ , соответствующая окончанию первой и началу второй ситуации, не зависит от размеров контакта. А вот поле, при котором заканчивается вторая и начинается первая стадия, соответствует моменту, когда вихри заполнили весь контакт. Поэтому оно зависит от длины контакта.

## Заключение

Рассчитаны конфигурации токов и профиль проникающего внутрь контакта магнитного поля при  $I < I_c$ . Для расчета использован модифицированный для контакта конечной длины подход, основанный на анализе непрерывного видоизменения конфигурации, протекающего в направлении уменьшения ее потенциала Гиббса. В бесконечном контакте длина приграничной конфигурации по ходу такого расчета все время увеличивается, что не позволяет прийти к решению за конечное время. Ограничение длины контакта позволяет найти решение задачи, поскольку две симметричные последовательности вихрей, идущие с разных концов контакта, встретившись в его центре, „останавливаются“.

Предложенный алгоритм позволяет найти ту конфигурацию, в которую переходит мейсснеровское состояние в случае  $I < I_C$  при малом превышении внешним полем значения  $H_{\max}$ , и проследить ее развитие при дальнейшем увеличении поля.

Компьютерные расчеты по предложенному методу были выполнены для случая  $I = 0.9 < I_C$ , при котором  $h_S = 0.318$ , а  $h_{\max} = 0.343$ . Длина контакта равнялась 200 ячеек.

Расчет показал, что при  $h = 0.344$  конфигурация еще сохраняет черты приграничной структуры. При больших значениях  $h$  вплоть до единицы наблюдаются квазиоднородные последовательности вихрей, расстояния между которыми колеблются около среднего значения, которое убывает с ростом  $h$ . Начиная с некоторого  $h$  вихри могут занимать соседние ячейки. При  $h = 1$  поле таково, что внешний магнитный поток через каждую ячейку равен  $\Phi_0$ . При этом система уравнений, описывающая задачу, может быть удовлетворена решением, при котором все токи, а также суммарный магнитный момент всего контакта обращаются в нуль. Однако это лишь одно из бесчисленного множества возможных решений системы, и предыстория развития, т. е. адиабатическое увеличение внешнего поля, не дает ему возможности реализоваться, так как к моменту, когда  $h = 1$ , в глубине контакта еще существуют ячейки, не содержащие вихрей. При  $h = 1$  по мере приближения к краю контакта последовательность вихрей, занимающих соседние ячейки, становится длиннее, чем в глубине. При дальнейшем росте  $h$  длина этой последовательности растет и достигает максимума при  $h = 1.3184$ , когда отклонение от ситуации с одним  $\Phi_0$  в каждой ячейке проявляется только в 20-й ячейке от края контакта. При дальнейшем росте  $h$  вблизи границы контакта начинают возникать вихри с  $2\Phi_0$ . С увеличением  $h$  все больше таких вихрей проникает в контакт, пока при  $h = 1.35$  такие вихри не выстроятся в квазиоднородную последовательность по всей длине контакта. При дальнейшем росте  $h$  период этой последовательности, т. е. среднее расстояние между соседними вихрями, будет уменьшаться, а среднее магнитное поле внутри контакта — расти. Далее в контакт начнут проникать вихри с  $3\Phi_0$  и т. д. Отметим, что ни при каком поле в контакте не могут находиться вихри с количеством квантов  $\Phi_0$ , различающимся больше, чем на единицу.

Процесс проникновения вихрей с  $(k + 1)\Phi_0$  в контакт, каждая ячейка которого содержит  $k\Phi_0$ , полностью аналогичен проникновению вихрей с одним  $\Phi_0$  в мейсснеровскую конфигурацию. Этот факт подтверждается тем, что зависимость средней индукции  $b$  в контакте от внешнего поля  $h$  имеет почти строгую периодичность с периодом 1 по обеим осям, а также видом зависимостей магнитного поля в ячейках от их расстояния до границы.

## Список литературы

- [1] Golubov A.A., Serpuchenko I.L., Ustinov A.V. // Sov. Phys. JETP. 1988. Vol. 67. P. 1256.
- [2] Зеликман М.А. // ЖТФ. 2007. Т. 77. Вып. 10. С. 68–74.
- [3] Кулик И.О., Янсон И.К. Эффект Джозефсона в сверхпроводящих туннельных структурах. М.: Наука, 1970.
- [4] Dorogovtzev S.N., Samuhin A.N. // Europhys. Lett. 1994. Vol. 25. P. 693–698.
- [5] Заславский Г.М., Сагдеев Р.З. Введение в нелинейную физику. М.: Наука, 1988.
- [6] Зеликман М.А. // ЖТФ. 2009. Т. 79. Вып. 2. С. 36–42.